

# حذف مخلوط یون‌های فلزی سرب، نیکل و کادمیم از محلولهای آبی با استفاده از جاذب نانو حفره MCM-41 اصلاح شده

زهرا مهرaban<sup>۱</sup>

حبيب الله يونسی<sup>۱</sup>

اقدس حیدری<sup>۱</sup>

(دریافت ۸۷/۱۰/۲۱ پذیرش ۸۸/۴/۷)

## چکیده

گروهی از جاذبهای سیلیکاتی میان حفره تحت عنوان MCM-41 که مساحت سطح زیادی دارند، با اصلاح برخی از گروههای عاملی سطحی توسط گروههای آمین و ایجاد گونه اصلاح شده NH<sub>2</sub>-MCM-41، به ظرفیت جذب بالاتری برای جذب یون‌های فلزات سنگین دست پیدا می‌کنند. در این پژوهش، جذب یون‌های کادمیم، نیکل و سرب از محلولهای آبی توسط جاذب اصلاح شده NH<sub>2</sub>-MCM-41 بررسی شد. کلیه آزمایش‌ها در یک سیستم ناپیوسته و با محلول حاوی سه یون فلزی انجام شد و اثر متغیرهای غلظت اولیه محلول یون‌های فلزی، مقدار جاذب، زمان تماس و pH مورد بررسی قرار گرفت. نتایج نشان داد که pH برابر ۵ برای جذب بهبود است. با افزایش غلظت یون‌های فلزی و کاهش مقدار جاذب، ظرفیت جذب افزایش یافت. داده‌های آزمایش از مدل‌های لانگمیر و فرونالدیچ تعیین کردند. حداقل ظرفیت جذب با مدل لانگمیر برای یون‌های فلزات سرب، کادمیم و نیکل به ترتیب برابر با ۱۸/۲۵، ۵۷/۷۴، ۱۲/۳۶ میلی‌گرم بر گرم بود. نتایج این مطالعه نشان داد که NH<sub>2</sub>-MCM-41 جاذبی با ظرفیت جذب بالا برای یون‌های فلزات سرب، نیکل و کادمیم است.

واژه‌های کلیدی: MCM-41، NH<sub>2</sub>-MCM-41، سرب، نیکل، کادمیم، جذب، ایزوترم

## Removal of Cd(II), Ni(II), and Pb(II) Ions in an Aqueous Solution by Chemically Modified Nanoporous MCM-41

Aghdas Heidari<sup>۱</sup>

Habibollah Younesi<sup>۱</sup>

Zahra Mehraban<sup>۲</sup>

(Received Jan. 11, 2009 Accepted June 28, 2009)

### Abstract

MCM-41 includes a group of silica mesopore components with a high surface area whose adsorption capacities can be enhanced by modifying their surface with amine groups. In this study, the modified NH<sub>2</sub>-MCM-41 was used to investigate adsorption of Cd(II), Ni(II) and Pb(II) ions in a mixture of aqueous solutions. All the experiments were carried out in a batch system containing a solution of metal ions to study the effects of the initial metal concentration, adsorbent dosage, contact time, and solution pH. The results showed that optimum adsorption would be achieved at pH 5 and that adsorption capacity increased with increasing metal ion concentration but with decreasing adsorbent dosage. Experimental data were fitted with Langmuir and Freundlich models. Maximum adsorption capacities for Ni(II), Cd(II), and Pb(II) were 12.36, 18.25 and 57.74 mg/g, respectively. The results indicate that NH<sub>2</sub>-MCM-41 is an effective adsorbent for Ni(II), Cd(II) and Pb(II) ions with a high adsorption capacity.

**Keywords:** MCM-41, NH<sub>2</sub>-MCM-41, Lead(II), Nickel(II), Cadmium(II), Adsorption, Isotherm

- Ph.D. Student of Environmental Sciences, Faculty of Natural Resources and Marine Sciences, Tarbiat Modarres University, Tehran
  - Assist. Prof. of Environmental Sciences, Faculty of Natural Resources and Marin Sciences, Tarbiat Modarres Uni., Tehran (Corresponding Author) (+98 122) 6253101 hunesi@modares.ac.ir
  - Assist. Prof. of Chemistry Dept., New Technology Committee, Research Institute for Curriculum Development and Educational Innovations, Tehran
- ۱- دانشجوی دکترای محیط زیست، دانشکده متاب طبیعی و علوم دریایی، دانشگاه تربیت مدرس، تهران
- ۲- استادیار گروه محیط زیست، دانشکده متاب طبیعی و علوم دریایی، دانشگاه تربیت مدرس، تهران (کوی ستدۀ مستوفی) (۰۲۲) ۶۲۵۳۱۰۱ hunesi@modares.ac.ir
- ۳- استادیار گروه شیمی، کمیته فناوریهای نو، موسسه پژوهشی برنامه ریزی درسی و نوآوری‌های آموزشی، تهران

## ۱- مقدمه

MCM-41 که با گروههای آمینوپروپیل عامل دار شده بود، بررسی شده است [۱۳].

در این مقاله تهیه جاذب انتخابی و قابل بازیافت MCM-41 برای حذف و بازیافت سرب، نیکل و کادمیم در مخلوط سه تایی بررسی شد. همچنین تأثیر pH، غلظت یون‌های فلزی، مقدار جاذب و زمان تماس بر جذب یون‌های نیکل، کادمیم و سرب در مخلوط سه تایی آزمایش داده‌های آزمایش با مدل‌های جذب لانگمیر و فروندیچ بررسی شد.

## ۲- مواد و روشها

### ۱-۲- مواد آزمایش

در این تحقیق اکسید سیلیس<sup>۲</sup>، ستیل تری متیل آمونیم برومید (CTMAB)<sup>۳</sup>، نرمال هگزان، سدیم هیدروکسید، هیدروکلریک اسید<sup>۴</sup> ۳۷ درصد و محلول یون‌های فلزی با غلظت ۱۰۰۰ میلی‌گرم<sup>۵</sup> در لیتر شامل یون‌های نیکل، کادمیم و سرب، از شرکت مرک خریداری شده‌اند. آمینوپروپیل تری متوكسی سیلان از شرکت سیگما آلدريچ<sup>۶</sup> خریداری شد. محلولهای استاندارد یون‌های فلزات نیکل، کادمیم و سرب با رقيق‌سازی محلول ۱۰۰۰ میلی‌گرم در لیتر از نمکهای نیترات سرب، کلرید نیکل و کلرید کادمیم (محلولهای مادر) در آب عاری از یون تهیه شد. pH اولیه محلول یون‌های فلزی با استفاده از سدیم هیدروکسید ۱ مولا و هیدروکلریک اسید ۱ مولا و با pH متر مدل سایبراسکن<sup>۷</sup> محصول کشور سنگاپور در مقادیر دلخواه تنظیم شد.

### ۲-۲- تهیه نانو جاذب NH<sub>2</sub>-MCM-41

MCM-41 بر طبق روش مهربان و همکاران تهیه شد [۱۴]. به این منظور مقدار ۶۴/۰ گرم سدیم هیدروکسید (۰/۰۱۶۲ مول) در ۲۷ میلی‌لیتر آب عاری از یون حل شد. سپس مقدار ۸/۱ گرم سیلیسیوم اکسید (۰/۰۳ مول) در دمای ۸۰ سانتی‌گراد به مدت ۳ ساعت به آن اضافه شد تا کاملاً حل شود. بعد از سرد شدن در دمای محیط، مقدار ۴۶/۵ گرم از CTMAB (۰/۰۱۵ مول) همراه با هزمدن شدید در دمای محیط به آن اضافه شد که محلولی کاملاً یکنواخت با ویسکوزیته بالا حاصل شد. بعد از ۱ ساعت، مقدار ۰/۳ میلی‌لیتر (۰/۰۱۰۲ مول) از هیدروکلریک اسید به آن اضافه شد. بعد از ۱۰ دقیقه ۲۴ میلی‌لیتر آب عاری از یون اضافه گردید. ژل شیری رنگ حاصل با نسبت مولی

شناسایی و پاکسازی مواد شیمیایی سمی، امری کلیدی در حفاظت محیط‌زیست است. آلاینده‌های سمی مثل یون‌های فلزات سنگین، به شدت برای ارگانیسم‌های زنده و محیط زیست خطرناک هستند. یون‌های فلزاتی مثل کادمیم، نیکل و سرب عمدها در فاضلابهای صنعتی یافت می‌شوند و از آلاینده‌های خطرناک زیست‌محیطی به شمار می‌روند. کادمیم باعث آسیب‌های کبدی و ریوی، فشار خون، از کار افتادن کلیه، نقص جنبی<sup>۱</sup>، سرطان زایی و جهش‌زایی می‌شود [۱]. نیکل منجر به بروز برونشیت مزمن، سرطان ریه و سینوس می‌شود [۲]. اختلال‌های یادگیری و رفتاری در کودکان، صدمه به اندام‌های کبد، کلیه و قلب و اختلال در سیستم ایمنی از پیامدهای آلودگی سرب است [۳]. لذا لازم است این آلاینده‌ها قبل از تخلیه فاضلاب در محیط زیست، حذف شوند. روش‌های زیادی برای جداسازی یون‌های فلزات سنگین از پساب وجود دارد که از آن میان به جداسازی شیمیایی، فیلتراسیون، جداسازی غشایی، تصفیه الکتروشیمیایی، جذب و تبادل یونی می‌توان اشاره کرد [۴]. در تحقیقات گذشته جاذب‌های متفاوتی از جمله مواد زیستی، رزین‌ها، کربن فعال رس‌ها و زئولیت‌ها برای جذب یون‌های فلزات سنگین بررسی شدند [۲ و ۵-۱۰].

MCM-41 ترکیب معروف میان حفره سیلیکا است که به علت دارا بودن مساحت زیاد سطح و حجم زیاد حفرات با ابعاد منافذی قابل کنترل در مقیاس ۲ تا ۱۰ نانومتر با ساختار کانال مانند شش گوش دو بعدی به عنوان جاذب پیشنهاد می‌شود [۱۱]. در تقسیم‌بندی نانوی مواد، مواد میان حفره در گروه مواد نانو حفره‌ای قرار می‌گیرند که اندازه حفراتی بین ۱ تا ۱۰۰ نانومتر دارند.

اصلاح گروههای عاملی سیلانول MCM-41 با گروههای عاملی آمین و سولفوهیدریل منجر به تشکیل جاذبی انتخابی با خواص ویژه می‌شود. به طور کلی مزایای اصلاح MCM-41 شامل موارد ذیل است: ۱- انتخاب پذیری بالا برای حذف فلزات سنگین از فاضلاب به واسطه مکانیسم کی‌لیت شدن با یون‌های فلزات از طریق گروههای آمین، ۲- کارایی بالای حذف این مواد به دلیل حضور گروههای متراکم آمین در سطح MCM-41 و وجود شمار زیادی از گروههای آمین در سطح جاذب، ۳- کاهش مقدار مصرف جاذب برای حذف فلزات به دلیل مساحت سطح بالای MCM-41 و ۴- ظرفیت جذب زیاد برای فلزات سنگین. در مطالعات گذشته، MCM-41 با گروههای آمین عامل دار شده و به عنوان جاذب برای حذف یون‌های سمی نیکل و کادمیم استفاده شده است [۱۲]. همچنین پتانسیل حذف نیکل و مس از پساب صنعتی آبکاری با

<sup>2</sup> Fumed Silica

<sup>3</sup> Cetyl Three Methyl Ammonium Bromide

<sup>4</sup> Merck

<sup>5</sup> Sigma Allrich  
<sup>6</sup> Cyberscan

<sup>1</sup> Teratogenic

مختلف در مقادیر ۱/۵، ۲/۵، ۳/۵، ۴/۵ و ۵ برسی شد. مدت زمان تماس بر حسب دقیقه به ترتیب ۱۰، ۵، ۲۰، ۳۰، ۴۰ و ۶۰ و ۱۲۰ انتخاب گردید. غلظت یون‌های فلزات بر حسب میلی گرم در لیتر به ترتیب برابر با ۱۰، ۱۰، ۲۰، ۳۰، ۵۰ و ۷۰ و مقدار گرم جاذب اضافه شده به محلول فلزی مقدار ۰/۵، ۱/۲۵، ۱/۲۵، ۲/۵، ۵، ۷/۵ و ۱۰ انتخاب شدند. اثر پارامترهای ذکر شده با ثابت نگه داشتن تمامی پارامترها و تغییر دادن یکی از آنها مورد بررسی قرار گرفت. برای محاسبه ظرفیت جذب تعادلی جاذب از رابطه ۱ استفاده شد

$$q_e = \frac{(C_0 - C_e)V}{W} \quad (1)$$

که در این رابطه  $q_e$  مقدار فلز جذب شده به ازای واحد وزن جاذب،  $C_0$  غلظت اولیه یون‌های فلزی در محلول بر حسب میلی گرم در لیتر،  $C_e$  غلظت تعادلی یون‌های فلزی در محلول بر حسب میلی گرم در لیتر،  $V$  حجم محلول بر حسب میلی لیتر و  $W$  وزن جاذب بر حسب گرم است.

برای مدل‌سازی ایزووترم جذب یون‌های فلزات نیکل، کادمیم و سرب با  $\text{NH}_2\text{-MCM-41}$ ، از مدل‌های ایزووترم لانگمیر و فروندلیچ استفاده شد. مدل جذب ایزووترم لانگمیر مربوط به جذب تک لایه‌ای است و فرض می‌کند سطح جاذب دارای مکان‌های با انرژی مساوی است که هر ملکول جذب شونده تنها به یک مکان اختصاص داده می‌شود. معادله لانگمیر در رابطه ۲ بیان شده است [۱۶]

$$q_e = \frac{q_m b C_e}{1 + b C_e} \quad (2)$$

که در این رابطه  $C_e$  غلظت تعادلی یون‌های فلزی بر حسب میلی گرم در لیتر،  $q_e$  مقدار یون‌های جذب شده بر حسب میلی گرم بر گرم،  $q_m$  بیشینه ظرفیت جذب یون‌های فلزی بر حسب میلی گرم بر گرم و  $b$  ثابت تعادلی جذب لانگمیر بر حسب میلی گرم بر میلی گرم است. ایزووترم جذب چندلایه برای سطوح ناهمگن توسط معادله ایزووترم فروندلیچ به صورت رابطه ۳ بیان می‌شود [۱۷]

$$q_e = K_f C_e^n \quad (3)$$

که در این رابطه  $C_e$  غلظت تعادلی یون‌های فلزی بر حسب میلی گرم در لیتر،  $q_e$  مقدار یون‌های جذب شده بر حسب میلی گرم بر گرم،  $K_f$  و  $n$  ثابت‌های فروندلیچ و به ترتیب شاخصهای ظرفیت و شدت جذب هستند.

$\text{SiO}_2:\text{NaOH:CTMAB:HCl:H}_2\text{O} = 1 : 0 / 50 : 0 / 50 : 0 / 34 : 100$  به مدت ۲ ساعت با شدت دور ۳۰۰ rpm هم زده شد. سپس مخلوط حاصل به ظرف پلی پروپیلنی منتقل شد و به مدت ۳ روز در آونی با دمای ۱۰۰ درجه سلسیوس قرار گرفت. در نهایت محلول پس از رسیدن به دمای محیط، توسط صافی معمولی صاف شد. ماده جامد حاصله پس از چندین بار شستشو با آب مقطر به مدت یک شب در دمای ۱۰۰ درجه سلسیوس خشک شد. پودر سفید رنگ حاصل در مرحله یعنی ۲ ساعت در دمای ۱۵۰ درجه سلسیوس و ۶ ساعت در دمای ۵۴۰ درجه سلسیوس تکلیس<sup>۱</sup> شد.

$\text{NH}_2\text{-MCM-41}$  مطابق با روش هو و همکاران<sup>۲</sup> تهیه شد [۱۵]. به این منظور مقدار ۲/۵ گرم از MCM-41 تکلیس شده در بالنی ته‌گرد به همراه ۵۰ میلی لیتر نرمال هگزان قرار داده شد. مقدار ۲/۵ گرم معرف ۳-آمینوپروپیل تری متوكسی سیلان به آن اضافه شد. مخلوط حاصل به مدت ۶ ساعت رفلaks شده بود. پس از خنک شدن مخلوط حاصل تا دمای محیط، نمونه صاف شده توسط ۲۰ میلی لیتر نرمال هگزان به آرامی شسته شد. نمونه تا زمان مصرف در دیسیکاتور جاذب رطوبت قرار گرفت.

### ۳-۲-شناسایی

مساحت سطح نمونه با کمک جذب گاز نیتروژن با دستگاه میکرومتریک<sup>۳</sup> ASAP و با روش BET محاسبه شد. ساختار و ترکیب شیمیایی نمونه به دست آمده با طیف XRD و FTIR و  $\text{CuK}\alpha$  دستگاه XRD با طول موج ۱/۵۴ آنگstrom به دست آمد. برای انجام طیف IR، نمونه با KBr به شکل قرص آماده شد و در دستگاه مورد اندازه قرار گرفت.

### ۴-۴-آزمایش‌های جذب

تمام آزمایش‌های جذب در سیستم ناپیوسته انجام شد. آزمایش‌ها در ارلن ۲۵۰ میلی لیتر شامل ۱۰۰ میلی لیتر از محلول یون‌های فلزی با غلظتها مختلف با شدت ۲۰۰ rpm و در دمای محیط انجام شد. نمونه‌ها در فواصل زمانی معین برداشته شد و از فیلتر غشایی با اندازه روزنه ۴/۵ میکرومتر عبور داده شد و غلظت باقیمانده یون‌های فلزات کادمیم، سرب و نیکل در محلول با استفاده از دستگاه اسپکتروفتومتر جذب اتمی محصول شرکت فیلیپس<sup>۴</sup> مدل PU9400، تعیین گردید. همچنین اثر پارامترهای pH، زمان تماس، غلظت و مقدار جاذب مورد بررسی قرار گرفت. اثر pH های

<sup>1</sup> Calcination

<sup>2</sup> Ho et al.

<sup>3</sup> Micromeric

<sup>4</sup> Philips

باندهای پهن مشاهده شده در نواحی  $1560\text{ cm}^{-1}$  و  $1650\text{ cm}^{-1}$  مربوط به ارتعاش خمشی گروه N-H است. کشش N-H در ناحیه  $3200\text{--}3500\text{ cm}^{-1}$  و کشش C-N در ناحیه  $1030\text{--}1230\text{ cm}^{-1}$  با باند پهن گروه سیلانول و ارتعاشات Si-O-Si همپوشانی دارد.

### ۳-۳-مساحت سطح

یکی از ویژگی‌های مواد میان حفره، داشتن مساحت سطح زیاد است که اندازه‌گیری مساحت سطح با جذب گاز نیتروژن و محاسبه به روش BET انجام شده است (جدول ۱). همان‌طور که مشاهده می‌شود نمونه اولیه MCM-41 قبل از اصلاح گروههای عاملی Si-OH، دارای مساحت سطح بسیار بالایی است و به ازای هر گرم نمونه، مساحتی برابر با  $966\text{ m}^2/\text{g}$  متر مربع دارد. اندازه سلول واحد شش گوشه‌ای برابر  $42/0.19\text{ \AA}$  آنگستروم بود. در حقیقت این ویژگی باعث می‌شود که مقدار کمی از نمونه، مکان‌های زیادی را برای نشاندن گروههای عاملی آمین فراهم کند که نتیجه آن، ایجاد مکان‌های فعالی برای جذب یون‌های فلزات واسطه است. میانگین قطر منفذ با استفاده از اطلاعات XRD معادل  $3/8\text{ nm}$  محاسبه شده است.

جدول ۱- پارامترهای مربوط به نمونه MCM-41

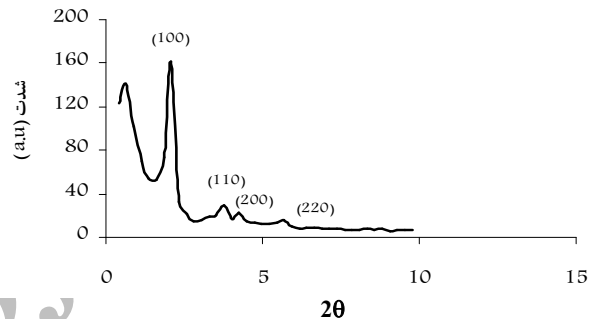
نمونه	میانگین قطر منفذ (nm)	مساحت سطح (m <sup>2</sup> /g)	اندازه سلول واحد (A°)
MCM-41	$3/8$	۹۶۶	$42/0.19$

۴-۳-تأثیر pH اولیه محلول بر میزان جذب یون‌های کادمیم، نیکل و سرب یکی از پارامترهای مهم در فرایند جذب، pH اولیه محلول است. نتایج حاصل از تأثیر pH بر جذب یون‌های نیکل، کادمیم و سرب در شکل ۳ نشان داده شده است. با افزایش pH محلول از  $1/5$  تا  $5$  درصد حذف یون‌های مذکور افزایش یافت به طوری که در pH برابر  $1/5\text{ cm}$  میزان جذب و در pH برابر  $5\text{ cm}$  بیشترین میزان جذب به دست آمد. به علاوه، مقدار ظرفیت جذب NH<sub>2</sub>-MCM-41 با افزایش pH محلول افزایش یافت. بیشترین ظرفیت جذب یون‌های کادمیم و نیکل در pH برابر  $5\text{ cm}$  در مورد یون سرب در pH برابر  $3/5\text{ cm}$  به دست آمد. علت را می‌توان به این صورت توضیح داد که در pH<sub>۵</sub> ایون فلزی تشکیل کی لیت می‌دهند، پرتوونه می‌شوند و قابلیت خود را برای کمپلکس نمودن یون فلز از دست می‌دهند. یعنی با کاهش pH، درصد پروتونه شدن گروههای آمین افزایش و

### ۳-نتایج و بحث

#### ۳-۱-الگوی XRD

طیف XRD برای NH<sub>2</sub>-MCM-41 در شکل ۱ نشان داده شده است. الگوهای پراش پرتو X نمونه مورد نظر پیکی باشد بالا و شارپ در  $2\theta = 20^\circ$  را نشان می‌دهد که در کنار آن سه پیک باشد پایین به ترتیب در  $2\theta = 4/25^\circ, 77^\circ, 5/69^\circ$  معادل با  $(100), (110), (200)$  و  $(220)$  نیز به ترتیب به پراش صفحات  $100, 110, 200$  و  $220$  نسبت داده می‌شوند. ظهور این پیک‌ها در ناحیه زوایای  $20^\circ$  پایین، مؤید تشکیل نمونه میان حفره است. الگوی پراش پرتو X مواد میان حفره به طور عمومی  $4^\circ$  پیک برآگ نشان می‌دهد که مؤید نظم زیاد حفره‌های موجود در ساختار آنهاست [۱۸]. الگوی پراش نیز مطابق با حفرات با ساختار شش گوش نمونه MCM-41 است که پیک‌ها نیز به ترتیب به پراش صفحات  $100, 110, 200$  و  $220$  نسبت داده می‌شوند.

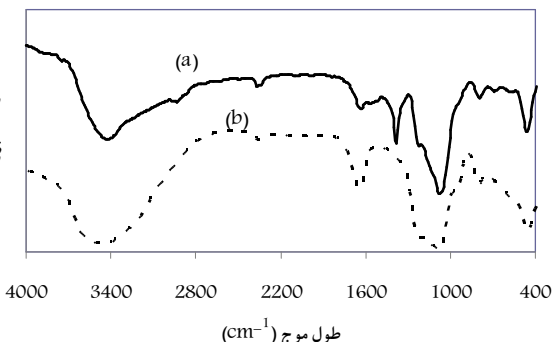


شکل ۱-الگوی XRD میان حفره NH<sub>2</sub>-MCM-41

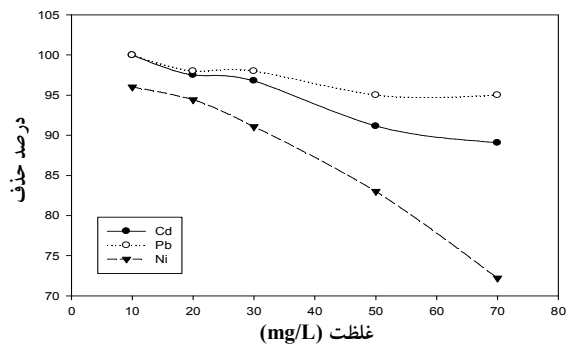
#### ۳-۲-طیف FTIR

در طیف FTIR نمونه MCM-41، باند پهن و گستردگی در ناحیه  $3055\text{--}3765\text{ cm}^{-1}$  مربوط به واکنش ساختار گروههای Si-OH با ملکول‌های آب جذب شده و مکان‌های تخریب شده است. برای ارتعاشات Si-O-Si در ناحیه  $1095\text{ cm}^{-1}$  کشش غیر مقارن، در ناحیه  $814\text{ cm}^{-1}$  کشش متقارن و در ناحیه  $460\text{ cm}^{-1}$  ارتعاشات خمیشی دیده می‌شود.

طیف FTIR نمونه NH<sub>2</sub>-MCM-41 در شکل ۲ نشان داده است.



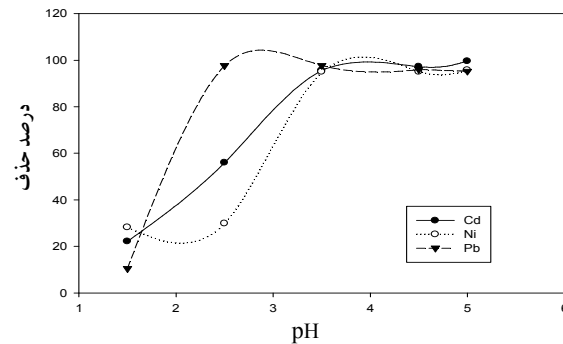
شکل ۲- طیف FTIR (a) NH<sub>2</sub>-MCM-41 و (b) MCM-41



شکل ۴- تأثیر غلظت اولیه یون های فلزات کادمیم، نیکل و سرب بر میزان جذب جاذب  $\text{NH}_2\text{-MCM-41}$  (غلظت فلز  $30 \text{ میلی گرم در لیتر}$ ،  $\text{pH} = 5$ )

و ۹۳ درصد از کادمیم از محلول در این بود. شکل ۵، تأثیر مقدار  $\text{NH}_2\text{-MCM-41}$  بر میزان و ظرفیت جذب یون های فلزی کادمیم، نیکل و سرب در محدوده  $0\text{/}125$  تا  $10\text{/}0$  گرم در لیتر را نشان می دهد. همان طور که مشاهده می شود با افزایش مقدار جاذب میزان ظرفیت جذب کاهش می یابد. اما در مقادیر دز بالای جاذب، جذب کامل می شود به طوری که در دز ۵ گرم در لیتر از جاذب، غلظت یون های کادمیم، نیکل و سرب در محلول به صفر می رسد. نتایج حاصل مؤید این موضوع است که با افزایش مقدار دز جاذب، به دلیل بسیار بالا بودن مساحت سطح نمونه یا میان حفره بودن نمونه تعداد مکان های فعال برای کمپلکس نمودن یون های فلزات افزایش می یابد و موجب افزایش فرایند جذب می شود و هنگامی که مقدار جاذب به حداقل کارایی خود یعنی ۵ گرم در لیتر می رسد، تعداد مکان های فعال موجود بر سطح جاذب پاسخگوی تعداد یون های فلزات موجود در محلول در فرایند جذب تعادلی است.

۷-۳- تأثیر زمان تماس جاذب بر جذب یون های کادمیم، نیکل و سرب  
بررسی زمان تماس نشان داد که جذب یون های کادمیم، نیکل و سرب با  $\text{NH}_2\text{-MCM-41}$  دارای سرعت بالایی است به طوری که سرب در مدت ۱۰ دقیقه به حداقل جذب تعادلی رسید و کادمیم و نیکل در مدت ۳۰ دقیقه به  $80\text{/}50$  درصد جذب تعادلی رسیدند (شکل ۶). این ویژگی را می توان به بالا بودن مساحت سطح نمونه و زیاد بودن گروههای عاملی برای کمپلکس نمودن یون های فلزی قرار می گیرند. حداقل زمان رسیدن به تعادل  $120$  دقیقه اندازه گیری شد. حضور کادمیم، نیکل و سرب به طور همزمان در محلول آبی منجر به رقابت بین آنها برای اشغال مکان های اتصال

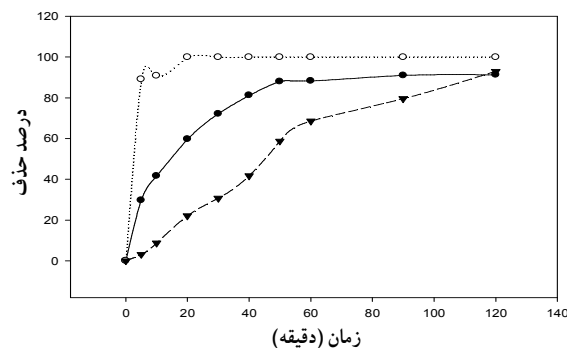


شکل ۳- تأثیر pH اولیه محلول بر میزان جذب یون های فلزات کادمیم، نیکل و سرب با جاذب  $\text{NH}_2\text{-MCM-41}$  (غلظت فلز  $30 \text{ میلی گرم در لیتر}$ ،  $\text{pH} = 5$  و مقدار جاذب  $5 \text{ گرم در لیتر}$ )

مکان های فعال برای کی لیت نمودن یون های فلزات کاهش می یابد. به همین دلیل در pH های پایین میزان جذب یون های فلزات کم می شود [۱۳].

۳-۵- تأثیر غلظت اولیه یون های کادمیم، نیکل و سرب بر میزان جذب  
ظرفیت جذب  $\text{NH}_2\text{-MCM-41}$  در غلظت اولیه یون های فلزی در محدوده  $10\text{/}70$  گرم در لیتر بررسی شد و نتایج آن در شکل ۴ نشان داده شده است. اگرچه با افزایش غلظت اولیه یون های فلزی میزان جذب این یون ها کاهش می یابد، اما ظرفیت جذب جاذب افزایش می یابد. با افزایش غلظت اولیه یون های فلزی، تعداد یون های در حال رقابت برای واکنش با گروههای فعال آمین سطح جاذب بیشتر می شود و در نتیجه مکان های فعال جاذب اشتعال می گردد [۷]. به عبارت دیگر ظرفیت جذب با زیاد شدن غلظت یون های فلزی در محلول افزایش می یابد. علاوه بر آن افزایش غلظت یون های فلزی و جاذب می گردد که این پدیده به نوبه خود فرایند جذب را تسريع می کند [۱۹].

۶-۳- تأثیر مقدار جاذب  $\text{NH}_2\text{-MCM-41}$  در محلول بر مقدار جذب نیکل، کادمیم و سرب  
مقدار جاذب، پارامتر مهمی است که تعیین کننده ظرفیت جذب جاذب برای غلظت اولیه مشخص است. تأثیر مقدار جاذبهای  $\text{NH}_2\text{-MCM-41}$  و  $\text{MCM-41}$  بر میزان جذب یون های نیکل، کادمیم و سرب بررسی شد. نتایج نشان داد که مقدار ۵ گرم در لیتر از  $\text{MCM-41}$  قادر است  $8/2$  درصد نیکل،  $29$  درصد از سرب و  $8/2$  درصد از کادمیم را از محلول آبی حذف کند، در حالی که  $\text{NH}_2\text{-MCM-41}$  قادر به حذف  $92$  درصد از نیکل،  $95$  درصد سرب

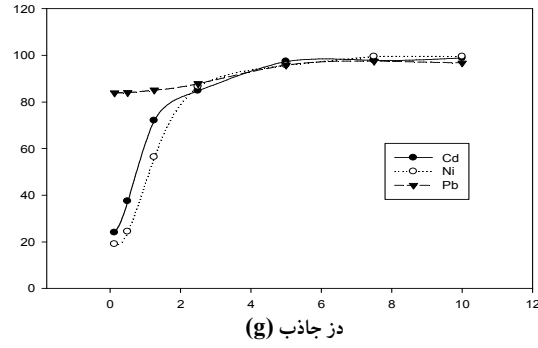


شکل ۶- تأثیر مدت زمان تماس جاذب بر میزان جذب یون‌های فلزات نیکل، کادمیم و سرب به‌وسیله جاذب جاذب ۵۰ میلی‌گرم در لیتر ( $\text{pH}=5$ ) و مقدار جاذب ۵ گرم در لیتر)

در دسترس و قابل وصول هستند و در نتیجه جذب یون‌های سرب از محلول تسهیل می‌شود.

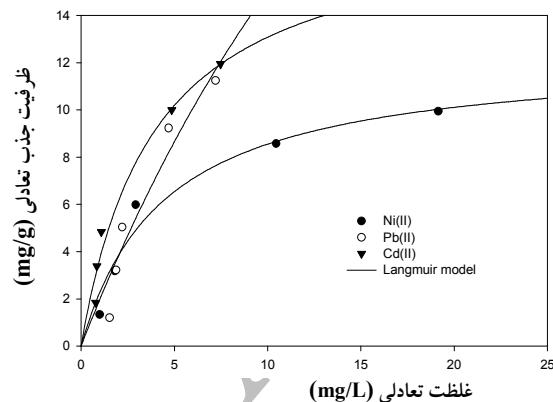
### ۳-۸-ایزوترم‌های جذب

داده‌های جذب تعادلی یون‌های کادمیم، نیکل و سرب با ایزوترم‌های جذب لانگمیر و فروندلیچ مطابقت دارند. ایزوترم‌های جذب فروندلیچ در شکل ۷ نشان داده شده است. با توجه به جدول ۲، ضرایب همبستگی ( $R$ ) داده‌های آزمایش با مدل لانگمیر از ضریب همبستگی داده‌ها با مدل فروندلیچ بیشتر است که نشان دهنده این مطلب است که مدل سازی داده‌ها با مدل لانگمیر مطابقت بیشتری دارد. حداقل ظرفیت جذب با مدل لانگمیر برای یون‌های

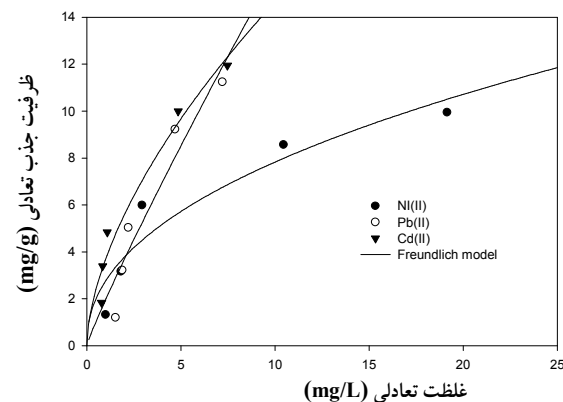


شکل ۵- تأثیر مقدار جاذب بر جذب یون‌های فلزات کادمیم، نیکل و سرب به‌وسیله جاذب ۵۰ میلی‌گرم در لیتر ( $\text{pH}=5$ )

یکسان می‌شود. به علاوه انتخاب پذیری نسبی جاذب برای جذب فلزات سنگین به برخی از ویژگی‌های فلز مربوط می‌شود. ویژگی‌هایی از قبیل شعاع یونی فلز، وزن اتمی، الکترونگاتیوی، ثابت هیدرولیز و نرمی، بر کارایی جذب مؤثرند و با افزایش آنها، میزان کارایی جذب افزایش می‌یابد [۲۰]. به عنوان مثال در محلول حاوی سه یون نیکل، کادمیم و سرب، چون شعاع یونی و الکترونگاتیویته سرب بزرگ‌تر است، سرعت جذب یون‌های نیکل و کادمیم به واسطه حضور سرب کاهش می‌یابد و یون‌های رقابت‌کننده، تأثیری بر جذب سرب توسط  $\text{NH}_2\text{-MCM-41}$  ندارند. به علاوه سرعت جذب سرب نشان می‌دهد که گروههای آمین در سطح  $\text{NH}_2\text{-MCM-41}$  به راحتی برای آنها



شکل ۷- مدل‌سازی ایزوترم جذب یون‌های فلزات کادمیم، نیکل و سرب به‌وسیله جاذب  $\text{NH}_2\text{-MCM-41}$  با استفاده از مدل لانگمیر (چپ) و مدل فروندلیچ (راست)



جدول ۲- پارامترهای مدل‌های لانگمیر و فروندلیچ برای جذب یون‌های فلزات کادمیم، نیکل و سرب

لانگمیر			فروندلیچ			یون‌های فلزات		
$q_m$ (mg/g)	$b$ (L/mg)	$R^2$	$K_f$	$n$	$R^2$	کادمیم (II)	نیکل (II)	سرب (II)
۱۸/۲۵	۰/۲۵۲۶	۰/۹۷۰۳	۳/۶۸۰	۱/۶۶۶	۰/۹۵۸۸			
۱۲/۳۶	۰/۲۲۴۵	۰/۹۵۶۹	۲/۷۵۹	۲/۲۰۹	۰/۹۰۰۹			
۵۷/۷۴	۰/۰۳۵۲	۰/۹۲۸۴	۱/۹۵۸	۱/۰۹۵	۰/۹۱۷۳			

جدول ۳- مقایسه ظرفیت جذب جاذبهای MCM-41 و سایر نانو حفره‌ها

مراجع	بیشینه ظرفیت جذب (mmol/g(mg/g))			لیگاند	pH	غلظت یون فلزی	مقدار جاذب، (g/L)	جاذب
	Pb <sup>2+</sup>	Ni <sup>2+</sup>	Cd <sup>2+</sup>					
[۱۲]	۰	۰	۰	-OH	-	-	-	MCM-41
[۱۲]	-	۰/۶۹(۴۰/۵)	۰/۷۱(۷۹/۸)	-RNH <sub>2</sub>	۵	۳ (mM)	۱	NH <sub>2</sub> -MCM-41
[۱۲]	-	۰/۱۵(۸/۸)	۰/۵۶(۶۳)	-RNH <sub>2</sub>	۵	۳ (mM)	۱	NH <sub>2</sub> -MCM-41 <sup>a</sup>
[۲۱]	-	۰/۰۱۵	۰/۱	آمینوپروپیل <sup>۲</sup>	۶		۱۰	سیلیکای حفره‌دار
	-	۰/۰۰۱	-	(آمینو-اتیل آمینو) پروپیل <sup>۳</sup>	۶		۱۰	عامل دار شده <sup>۱</sup>
	-	۰/۱۵	۰/۰۱	۰- [آمینو اتیل آمینو] اتیل آمینو] پروپیل <sup>۴</sup>	۶		۱۰	
	-	۰/۰۰۵	۰/۲	مرکاپتوپروپیل <sup>۵</sup>	۶			
[۲۲]	-	۰/۱۳(۷/۶)	-	-OH	۴/۸	۴ (mM)	۱	SBA-15
	-	۰/۰۶(۳/۵)	-	سالیسیل آلدید <sup>۶</sup>	۴/۸	۴ (mM)	۱	SA-SBA-15 <sup>b</sup>
	-	۰/۳۸	-	سالیسیل آلدید	۴/۸	۴ (mM)	۵	SA-SBA-15
[۲۳]	-	-	۰/۰۲ ± ۰/۰۴	-OH	-	-	-	SBA-15
	-	-	۰/۰۲ ± ۰/۹۹	۲- مرکاپتوپریمیدین <sup>۷</sup>	۶	۲۵-۰/۰۴ (mμ)	۶/۶	MPY-SBA-15
	۰/۰۲ ± ۰/۲	-	-	۲- مرکاپتوپریمیدین	۶		۶/۶	MPY-SBA-15 <sup>a</sup>
این	(۵۷/۷۴)	(۱۲/۳۶)	(۱۸/۲۵)	NH <sub>2</sub> -	۵	۵۰ (mg/L)	۵	NH <sub>2</sub> -MCM-41 <sup>c</sup>
پژوهش								

a مخلوط دوتایی یون فلزی، b مخلوط یون‌های فلزی و c مخلوط سه تایی یون فلزی

<sup>1</sup> Functionalized Porous Silica

<sup>2</sup> Aminopropyl

<sup>3</sup> (Amino-ethylamino) Propyl

<sup>4</sup> [(2-Aminoethylamino) ethylamino] Propyl

<sup>5</sup> Mercapto Propyl

<sup>6</sup> Salicylaldehyde

<sup>7</sup> 2-Mercaptopyrimidine

حداکثر میزان جذب در pH ۵ برابر ۵ برابر نیکل، کادمیم و سرب به دست آمد. جذب یون‌های فلزی دارای سرعت بالایی است. حداکثر ظرفیت جذب با مدل لانگمیر برابر یون‌های فلزات سرب، کادمیم و نیکل به ترتیب برابر با  $18/25$ ،  $57/74$ ،  $12/36$  میلی‌گرم بر گرم است. به طور کلی یافته‌های این تحقیق نشان می‌دهد که جاذب MCM-41 NH<sub>2</sub>-MCM-41 برابر حذف برخی یون‌های فلزی مانند نیکل، کادمیم و سرب از پساب کارخانه‌ها و واحدهای تولیدی، انتخاب مناسبی است. به علاوه این جاذب پس از عملیات جذب می‌تواند بازیافت شود و مجدداً در صنعت استفاده گردد.

فلزات سرب، کادمیم و نیکل به ترتیب برابر با  $18/25$ ،  $57/74$ ،  $12/36$  میلی‌گرم بر گرم شد. جاذبهای MCM-41 ظرفیت جذبهای متفاوتی برای یون‌های نیکل، کادمیم و سرب ارائه می‌کنند. جدول ۳، ظرفیت جذب یون‌های تحقیق حاضر با جاذب NH<sub>2</sub>-MCM-41 و سایر نانوخرقهای را مقایسه می‌کند. ویژگی‌های گروههای عاملی پیوندی در سطح جاذب، حضور سایر یون‌ها در محلول، غلظت اولیه یون اولیه یون فلزی و مقدار جاذب نقش مهمی در بیشینه ظرفیت جذب یون‌های فلزی ایفا می‌کند. ظرفیت جذب نیکل، کادمیم و سرب با MCM-41 بسیار کم است در حالی که MCM-41 عامل دار شده با گروههای آمین توانایی جذب بالاتری برای یون‌های نیکل، کادمیم و سرب نشان می‌دهد.

## ۵- قدردانی

انجام تحقیق حاضر با استفاده از پشتیبانی مالی و علمی دانشکده منابع طبیعی و علوم دریایی نور، دانشگاه تربیت مدرس صورت گرفته است. نویسنده‌گان این مقاله بر خود لازم می‌دانند که مراتب تشکر و قدردانی را از خانم مهندس حقدوست (تکسین آزمایشگاه محیط زیست دانشکده منابع طبیعی)، خانم مهندس مائده گله‌دار، دانشگاه تربیت مدرس و وزارت علوم تحقیقات و فناوری به دلیل حمایتهای مالی و علمی به عمل آورند.

## ۴- نتیجه‌گیری

نتایج حاصل از تحقیق حاضر نشان می‌دهد که MCM-41 اصلاح شده با آمین یعنی NH<sub>2</sub>-MCM-41 به دلیل داشتن مساحت سطح بالا و داشتن گروههای عاملی آمینی، جاذبی مؤثر و کارا برای حذف یون‌های فلزات سنگین کادمیم، نیکل و سرب از پساب است. متغیرهایی از جمله غلظت اولیه یون‌های فلزی، زمان تماس، pH اولیه و مقدار جاذب بر حذف یون‌های فلزی از محلول مؤثرند.

## ۶- مراجع

- 1- Davis, T.A., Volesky, B., and Vieira, R.H.S.F. (2000). "Sargassum seaweed as biosorbent for heavy metals." *Water Research*, 34, (17) 4270-4278.
- 2- Sen Gupta, S., and Bhattacharyya, K.G. (2008). "Immobilization of Pb(II), Cd(II) and Ni(II) ions on kaolinite and montmorillonite surfaces from aqueous medium." *J. of Environmental Management*, 87 (1), 46-58.
- 3- Sreejalekshmi, K.G., Krishnan, K.A., and Anirudhan, T.S. (2002). "Adsorption of Pb(II) and Pb(II)-citric acid on sawdust activated carbon: Kinetic and equilibrium isotherm studies." *J. of Hazardous Materials*, 161 (2-3), 1506-1513.
- 4- Shafaei, A., Ashtiani, F.Z., and Kaghazchi, T. (2007). "Equilibrium studies of the sorption of Hg(II) ions onto chitosan." *J. of Chemical Engineering*, 133 (1-3), 311-316.
- 5- Lohani, M.B., Singh, A., Rupainwar, D.C., and Dhar, D.N. (2008). "Studies on efficiency of guava (Psidium guajava) bark as bioadsorbent for removal of Hg(II) from aqueous solutions." *J. of Hazardous Materials*, 159 (2-3) 626-629.
- 6- Febrianto, J., Kosasih, A. N., Sunarso, J., Ju, Y. H., Indraswati, N., and Ismadji, S. (2009). "Equilibrium and kinetic studies in adsorption of heavy metals using biosorbent: A summary of recent studies." *J. of Hazardous Materials*, 162 (2-3), 616-645.
- 7- Ghorbani, F., and Younesi, H. (2008). "Biosorption of cadmium(II) Ions by Saccharomyces cerevisiae biomass from aqueous solutions." *Water and Wastewater*, 68, 33-39.

- 8- Donia, A.M., Atia, A.A., Moussa, E. M. M., El-Sherif, A. M., and Abd El-Magied, M.O. (2009). "Removal of uranium(VI) from aqueous solutions using glycidyl methacrylate chelating resins." *Hydrometallurgy*, 95 (3-4), 183-189.
- 9- Jaramillo, J., Gómez-Serrano, V., and Lvarez, P.M. (2009). "Enhanced adsorption of metal ions onto functionalized granular activated carbons prepared from cherry stones." *J. of Hazardous Materials*, 161 (2-3), 670-676.
- 10- Chutia, P., Kato, S., Kojima, T., and Satokawa, S. (2009). "Arsenic adsorption from aqueous solution on synthetic zeolites." *J. of Hazardous Materials*, 162 (1), 440-447.
- 11- Mangrulkar, P.A., Kamble, S.P., Meshram, J., and Rayalu, S.S. (2008). "Adsorption of phenol and o-chlorophenol by mesoporous MCM-41." *J. of Hazardous Materials*, 160 (2-3), 414-421.
- 12- Lam, K.F., Yeung, K.L., and McKay, G. (2007). "Efficient approach for Cd<sup>2+</sup> and Ni<sup>2+</sup> removal and recovery using mesoporous adsorbent with tunable selectivity." *Environmental Science and Technology*, 41 (9), 3329-3334.
- 13- Algarra, M., Jiménez, M. V., Rodríguez-Castellón, E., Jiménez-López, A., and Jiménez-Jiménez, J. (2005). "Heavy metals removal from electroplating wastewater by aminopropyl-Si MCM-41." *Chemosphere*, 59 (6), 779-786.
- 14- Mehraban, Z., Farzaneh, F. (2006). "MCM-41 as selective separator of chlorophyll-a from [beta]-carotene and chlorophyll-a mixture." *Microporous and Mesoporous Materials*, 88 (1-3), 84-90.
- 15- Ho, K. Y., McKay, G., and Yeung, K.L. (2003). "Selective adsorbents from ordered mesoporous silica." *Langmuir*, 19 (7), 3019-3024.
- 16- Vasconcelos, H. L., Camargo, T. P., Gonçalves, N. S., Neves, A., Laranjeira, M. C. M., and Fávere, V.T. (2008). "Chitosan crosslinked with a metal complexing agent: synthesis, characterization and copper(II) ions adsorption." *Reactive and Functional Polymers*, 68 (2), 572-579.
- 17- Ghorbani, F., Younesi, H., Ghasempour, S. M., Zinatizadeh, A. A., Amini, M., and Daneshi, A. (2008). "Application of response surface methodology for optimization of cadmium biosorption in an aqueous solution by *Saccharomyces cerevisiae*." *J. of Chemical Engineering*, 145 (2), 267-275.
- 18- Grün, M., Unger, K. K., Matsumoto, A., and Tsutsumi, K. (1999). "Novel pathways for the preparation of mesoporous MCM-41 materials: control of porosity and morphology." *Microporous and Mesoporous Materials*, 27 (2-3), 207-216.
- 19- Kumar, R., Bishnoi, N. R., Garima, and Bishnoi, K. G. (2008). "Biosorption of chromium(VI) from aqueous solution and electroplating wastewater using fungal biomass." *J. of Chemical Engineering*, 135 (3), 202-208.
- 20- Sengil, I.A., and Özacar, M. (2009). "Competitive biosorption of Pb<sup>2+</sup>, Cu<sup>2+</sup> and Zn<sup>2+</sup> ions from aqueous solutions onto valonia tannin resin." *J. of Hazardous Materials*, 166 (2-3), 1488-1494.
- 21- Bois, L., Bonhommé, A., Ribes, A., Pais, B., Raffin, G., and Tessier, F. (2003). "Functionalized silica for heavy metal ions adsorption, *Colloids and Surfaces A*, 221 (1-3), 221-230.
- 22- Mureseanu, M., Reiss, A., Stefanescu, I., David, E., Parvulescu, V., Renard, G., and Hulea, V. (2008). "Modified SBA-15 mesoporous silica for heavy metal ions remediation." *Chemosphere*, 73 (9), 1499-1504.
- 23- Perez-Quintanilla, D., Del Hierro, I., Fajardo, M., and Sierra, I. (2006). "Adsorption of cadmium(II) from aqueous media onto a mesoporous silica chemically modified with 2-mercaptopurimidine." *J. of Materials Chemistry*, 16 (18), 1757-1764.